



ИТОГИ НАУКИ И ТЕХНИКИ.
Современная математика и ее приложения.
Тематические обзоры.
Том 221 (2023). С. 10–19
DOI: 10.36535/0233-6723-2023-221-10-19

УДК 514.113.5

АНАЛОГ ТЕОРЕМЫ ГАУССА—АЛЕКСАНДРОВА
О ПЛОЩАДИ СФЕРИЧЕСКОГО ИЗОБРАЖЕНИЯ
ДЛЯ НЕВЫПУКЛОГО МНОГОГРАННОГО УГЛА
БЕЗ ОСОБЕННОСТЕЙ

© 2023 г. Л. А. АНТИПОВА

Аннотация. В настоящей работе сформулированы определения сферического изображения, площади сферического изображения и кривизны реализации для класса многогранных углов без особенностей и доказана теорема о равенстве площади сферического изображения и кривизны реализации многогранного угла из выделенного класса.

Ключевые слова: теорема Гаусса, площадь сферического изображения, невыпуклый многогранник, кривизна реализации.

AN ANALOG OF THE GAUSS–ALEKSANDROV THEOREM
ABOUT THE AREA OF THE SPHERICAL IMAGE
OF A NONCONVEX POLYHEDRAL ANGLE
WITHOUT SINGULARITIES

© 2023 L. A. ANTIPOVA

ABSTRACT. In this paper, we formulate the definitions of epy spherical image, the area of the spherical image, and the implementation curvature for a class of polyhedral angles without singularities. Also, we prove a theorem on the equality of the area of the spherical image and the implementation curvature of a polyhedral angle from a distinguished class.

Keywords and phrases: Gauss theorem, area of a spherical image, nonconvex polyhedron, implementation curvature.

AMS Subject Classification: 51M20

Исследуя различные классы поверхностей, геометры школы А. Д. Александрова всегда стремились доказать, что для поверхностей изучаемого ими класса выполняется аналог теоремы Гаусса о равенстве интегральных внутренней и внешней кривизн этих поверхностей. Простейший аналог этой теоремы для выпуклого многогранного угла был доказан в монографии [1], а сейчас он доказан даже в школьном учебнике [2]. Эта теорема утверждает, что площадь сферического изображения выпуклого многогранного угла равна кривизне этого угла.

Автор выражает огромную благодарность и признательность Алексею Леонидовичу Вернеру за общее руководство моей научной работой, регулярные, содержательные, наполненные идеями беседы, а также внимательное прочтение и редактирование настоящей статьи.

Объектом нашего изучения являются однородные невыпуклые многогранники, основные свойства которых содержатся в пособии «Строение невыпуклых однородных многогранников с выпуклыми гранями» [3]. Нами были доказаны аналоги теоремы Гаусса для невыпуклых ориентируемых однородных многогранников с выпуклыми гранями и ненулевой кривизной вершин. Также установлен интегральный вариант этой теоремы — полная площадь сферического изображения многогранника равна произведению его плотности и 4π . Эти результаты были представлены 27 сентября 2021 г. в докладе А. Л. Вернера и Л. А. Антиповой на геометрическом семинаре им. А. Д. Александрова в ПОМИ. При доказательстве этих теорем было важно, что сферические образы граней лежат в вершинах классических сферических сетей. В настоящей работе будут сформулированы определения сферического изображения, площади сферического изображения и кривизны реализации для класса многогранных углов без особенностей и доказана теорема о равенстве площади сферического изображения и кривизны реализации многогранного угла из выделенного класса. Этот класс углов, в частности, содержит углы трех невыпуклых ориентируемых однородных многогранников: большого икосаэдра, большого додекаэдра и большого битригонального икосододекаэдра. В настоящей работе я обобщаю этот результат для более широкого класса многогранных углов.

1. Определим класс многогранных углов, который будет рассмотрен. Пусть в трехмерном евклидовом пространстве введена декартова система координат x, y, z с базисными ортами $\bar{i}, \bar{j}, \bar{k}$. Будем считать, что выбранная система координат — правая, координатная плоскость xOy (обозначим ее через α) горизонтальная, а орт \bar{k} оси z направлен вверх.

Пусть L замкнутая ломаная в плоскости α , заданная вершинами L_1, L_2, \dots, L_n , занумерованными в циклическом порядке (рис. 1). Звено L_jL_{j+1} обозначим через g_j .

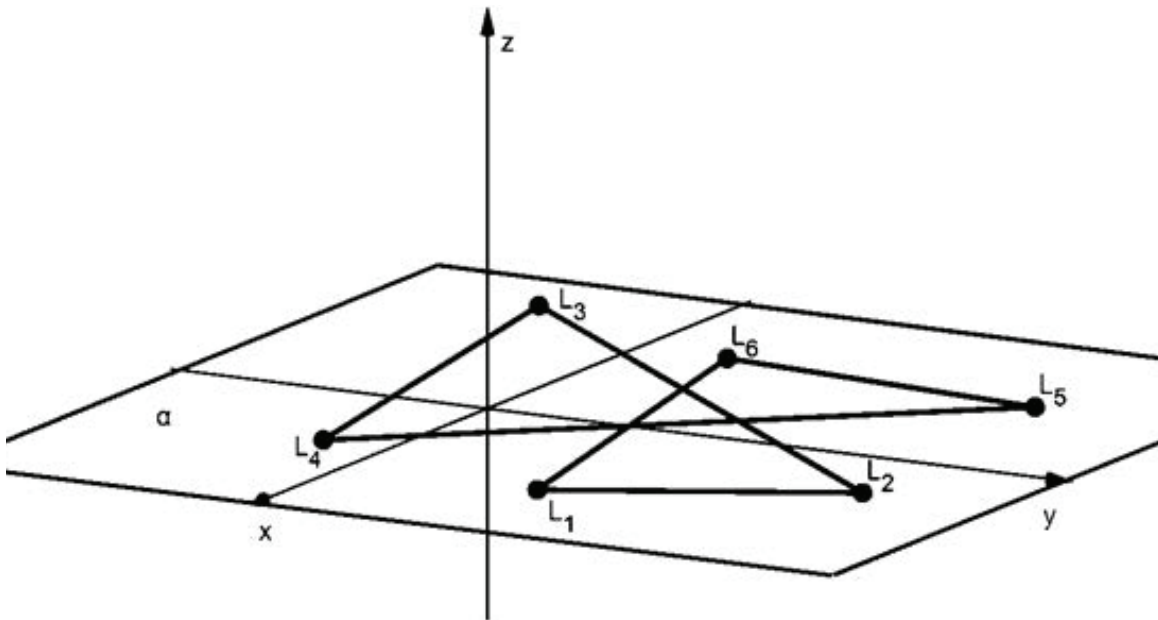


Рис. 1. Замкнутая ломаная $L_1L_2\dots L_n$ в плоскости.

Пересечение внутренних областей всех плоских углов $\angle L_{j-1}L_jL_{j+1}$ ломаной L обозначим через L^* и назовём **ядром ломаной** L .

Ядро выпуклой плоской ломаной совпадает с выпуклым многоугольником, ограниченным этой ломаной. **Будем рассматривать плоские замкнутые ломаные с непустым ядром.** Назовём их **ломаными без особенностей**.

Сделаем несколько выводов из этого условия.

Заметим, что ядро L^* является выпуклым многоугольником, стороны которого содержатся в звеньях ломаной L , но для ломаных с самопересечением порядок сторон L^* отличен от порядка звеньев ломаной L .

Пусть точка O — центроид вершин ядра L^* . Поскольку ядро является выпуклым множеством, точка O принадлежит ядру (рис. 2).

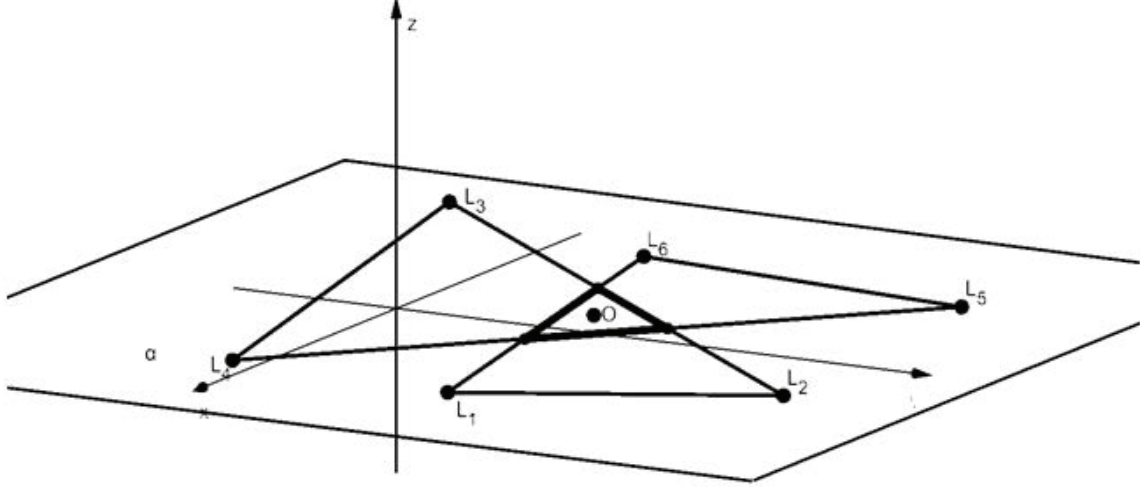


Рис. 2. Точка O — центроид вершин ядра L^* ломаной L .

Обозначим через H_j ортогональную проекцию точки O на прямую звена g_j (рис. 3).

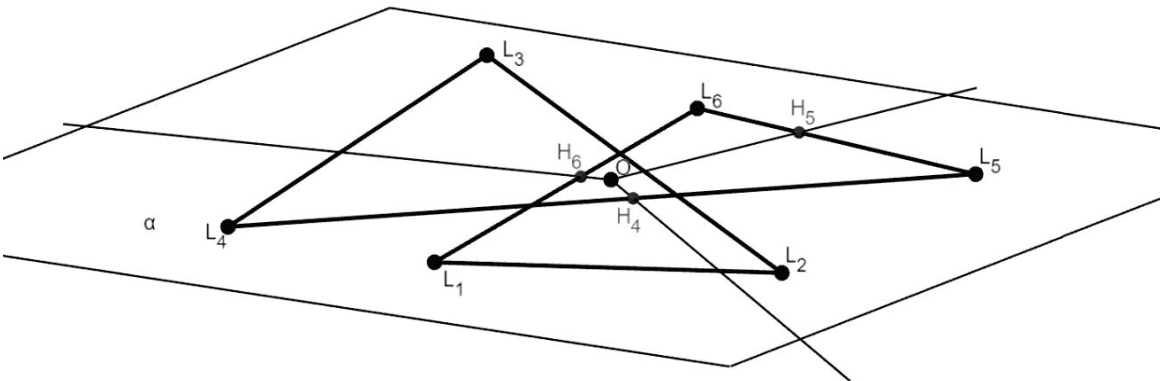


Рис. 3. Проекции точки O на прямые звенья g_4 , g_5 и g_6 .

Назовём *тройкой* T_j набор трёх последовательных звеньев g_{j-1} , g_j и g_{j+1} . Звено g_j назовём *серединой* *тройки* T_j , а два других её звена — *краями* *тройки* (рис. 6).

Из непустоты ядра L^* следует, что оба звена края каждой тройки T_j лежат по одну сторону от прямой, содержащей звено g_j . Из этого непосредственно следует, что треугольники OH_jH_{j-1} и OH_jH_{j+1} не имеют внутренних общих точек.

Получили последовательность углов $\angle H_1OH_2, \angle H_2OH_3, \angle H_3OH_4, \dots, \angle H_{n-1}OH_n, \angle H_nOH_1$, которые, прилегая друг к другу по общей стороне, обходят вокруг точки O целое число раз. Сумма данных углов равна

$$\sum_{i=1}^n \angle H_iOH_{i+1} = r \cdot 2\pi, \quad \text{где } n+1 = 1.$$

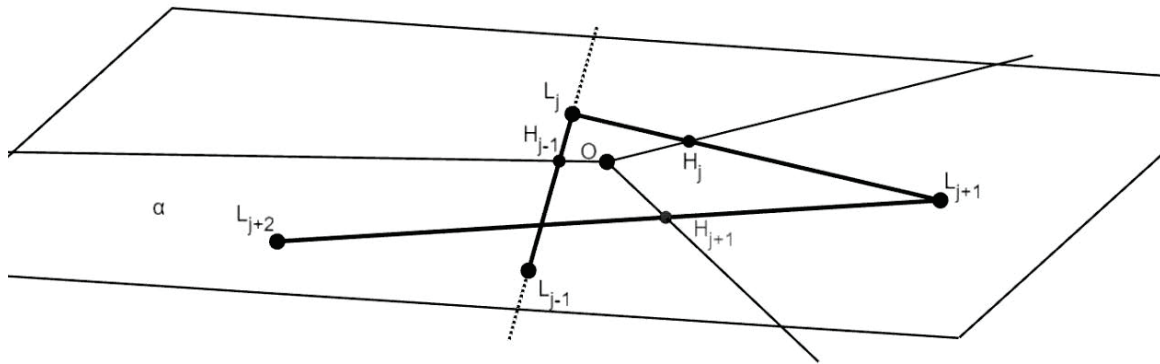


Рис. 4

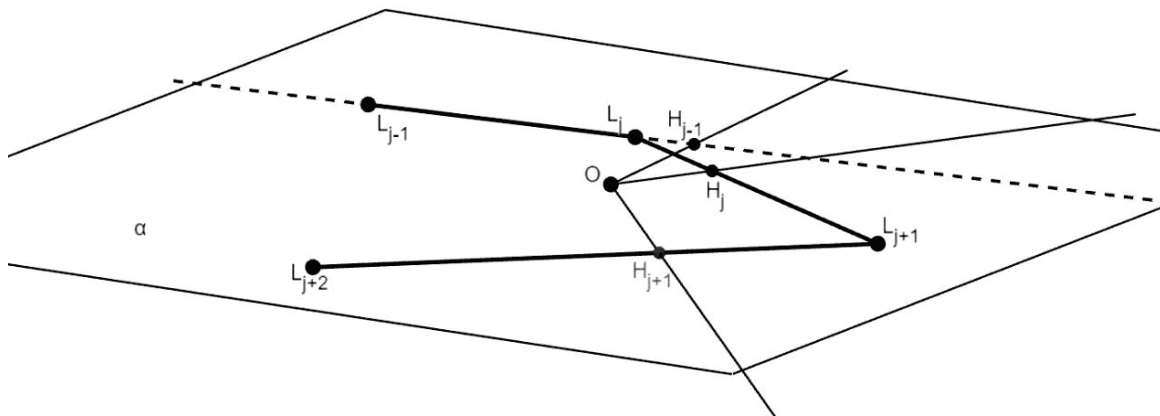
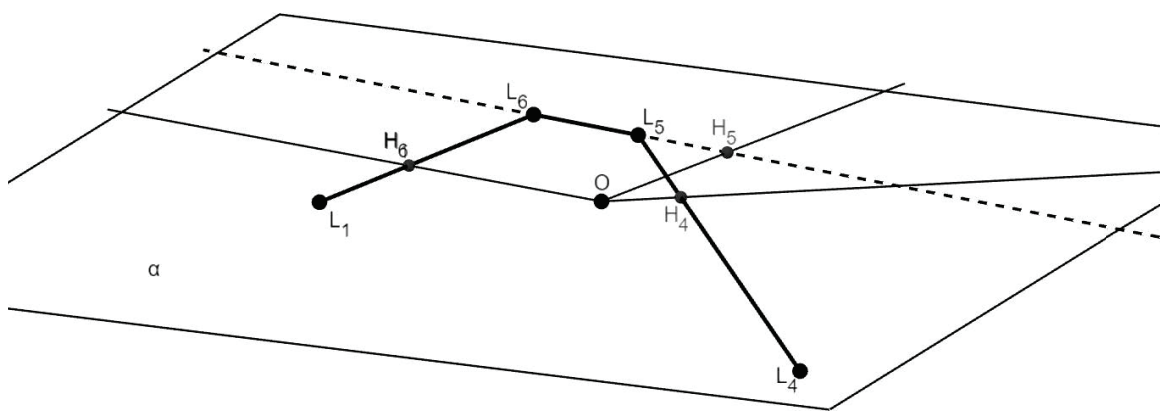
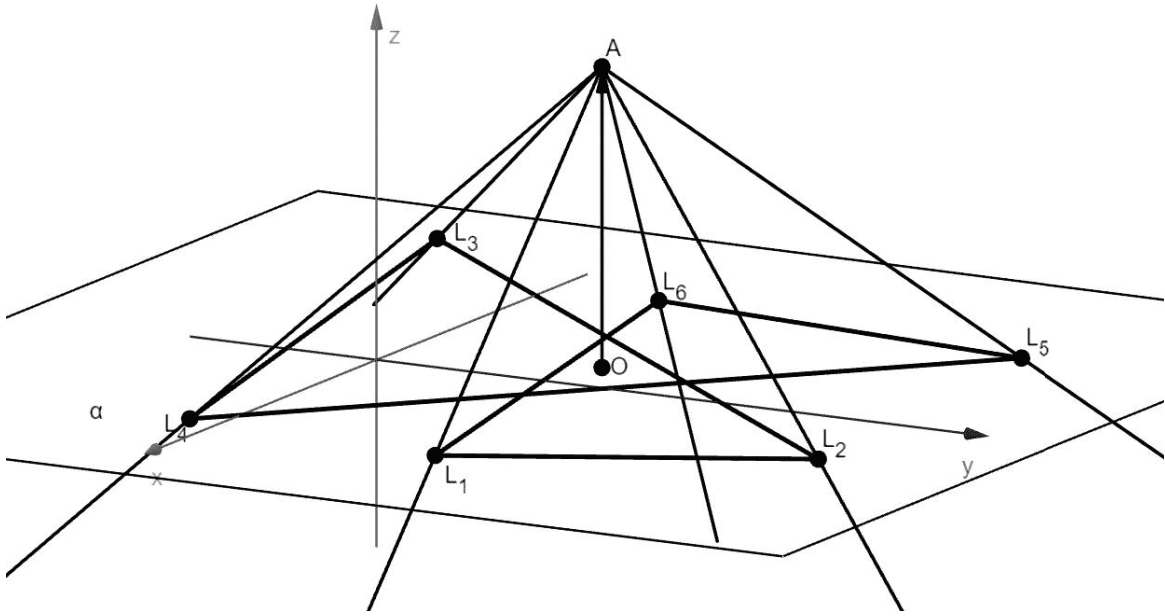


Рис. 5

Рис. 6. Три варианта расположения тройки T_i относительно точки O .

Число r назовём числом обхода ломаной L вокруг точки O .

Пусть точка A такая, что вектор \overline{OA} равен координатному вектору \vec{k} . Под многогранным углом без особенностей будем понимать тройку (V, L, O) , где V — многогранный угол, определенный как конус с вершиной в точке A над ломанной L без особенностей (рис. 7).

Рис. 7. Многогранный угол без особенностей (V, L, O) .

Плоский угол $\angle L_j A L_{j+1}$ назовём *гранью* G_j многогранного угла V , а луч AL_j — *ребром* p_j многогранного угла V .

Радианные меры плоских углов граней G_1, G_2, \dots, G_n обозначаем $\alpha_1, \alpha_2, \dots, \alpha_n$ соответственно.

Тройкой граней T'_j назовём набор трёх последовательных граней G_{j-1}, G_j и G_{j+1} угла V . Грань G_j назовём *серединой тройки* T'_j , а две другие её грани — *краями тройки*.

Числом *оборотов* угла (V, L, O) вокруг оси OA назовём число оборотов ломаной L относительно точки O и обозначим это число через $\text{rot}(V, L, O)$.

Пусть S — единичная сфера с центром в точке O .

2. Понятия, необходимые для формулировки теоремы. Опустим из точки O перпендикуляр OC_j на плоскость грани G_j . Обозначим через e_j луч OC_j (рис. 8—10). Лучи e_1, e_2, \dots, e_n являются ребрами многогранного угла W с вершиной в точке O , грани которого определяются соседними лучами. Обозначим грань, содержащую лучи e_j и e_{j+1} , через Q_j .

Свойства угла W .

1. Грань Q_j перпендикулярна ребру p_j угла V , так как лучи e_j и e_{j+1} ортогональны соответственно граням G_j и G_{j+1} многогранного угла V .
2. Плоскость, содержащая ось OA и ребро e_j , перпендикулярна плоскости α и содержит прямую OH_j .
3. Из второго свойства следует, что проекцией на плоскость α луча e_j будет луч OH_j .

Пусть точка C'_j полюс плоскости грани G_j при полярном преобразовании относительно сферы S . Ясно, что точка C'_j принадлежит лучу e_j . Полюсы всех граней угла V принадлежат касательной плоскости к сфере S , содержащей точку A . Ортогональной проекцией на плоскость α луча AC'_j будет луч OH_j . Следовательно, треугольники $AC'_j C'_{j-1}$ и $AC'_j C'_{j+1}$ не имеют внутренних общих точек и сумма плоских углов равна

$$\sum_{j=1}^n \angle C'_j O C'_{j+1} = r \cdot 2\pi,$$

где r — число оборотов угла (V, L, O) вокруг оси OA .

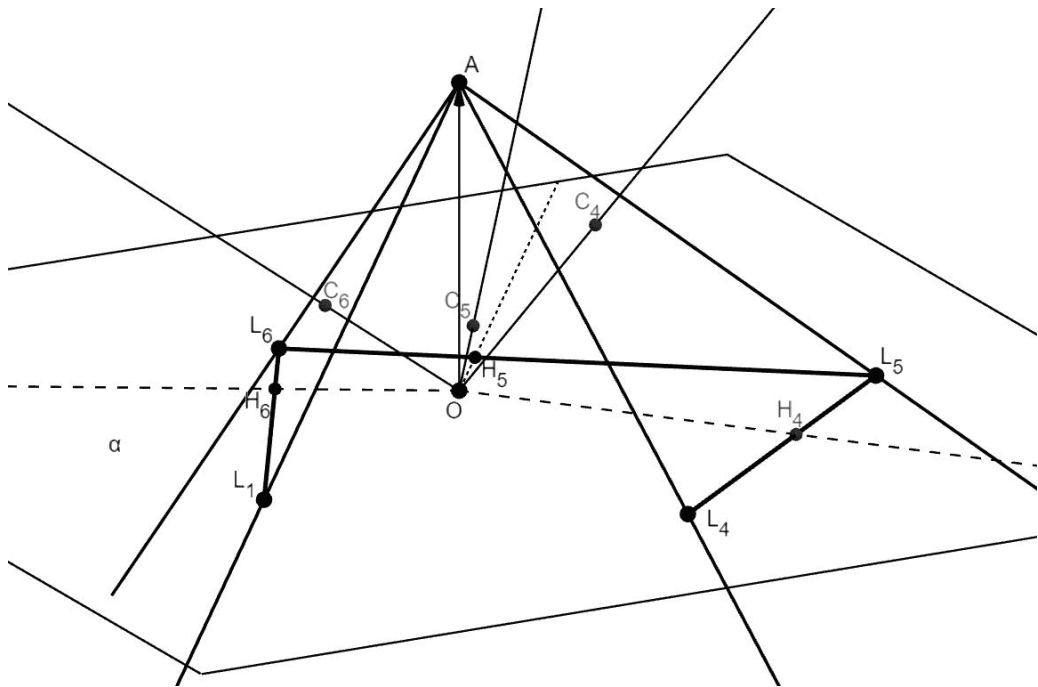


Рис. 8. Проекции точки O на плоскости граней тройки T'_5 принадлежат граням.

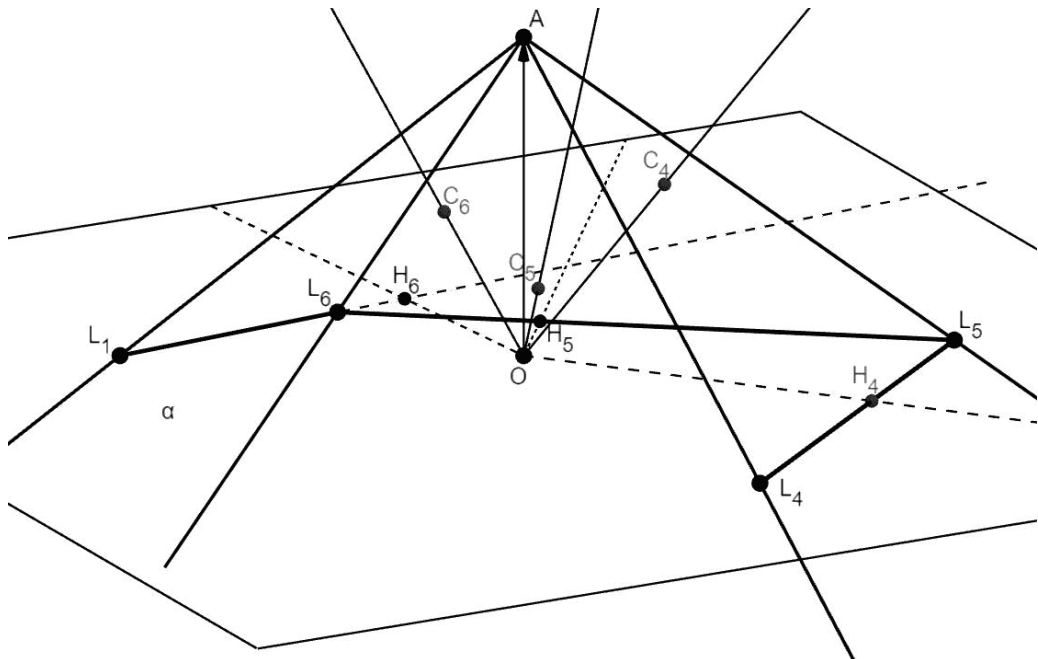


Рис. 9. Проекция точки O на плоскость одного из края тройки T'_5 не принадлежит этой грани.

Полярным изображением многогранного угла V относительно сферы S будет многоугольник $C'_1 C'_2 \dots C'_n$, представимый объединением треугольников

$$AC'_2 C'_1, AC'_3 C'_2, AC'_4 C'_3, \dots, AC'_n C'_{n-1}, AC'_1 C'_n.$$

На рисунке 11 представлен полярный образ многогранного угла большого икосаэдра.

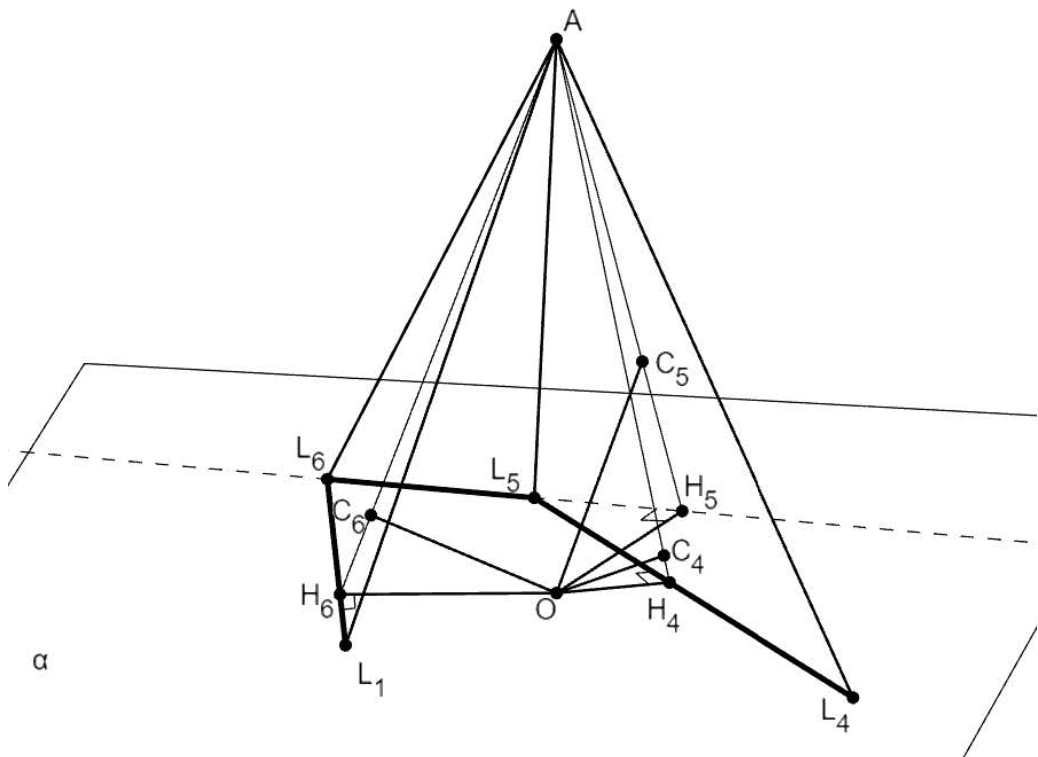


Рис. 10. Проекция точки O на плоскость середины тройки T'_5 не принадлежит самой грани.

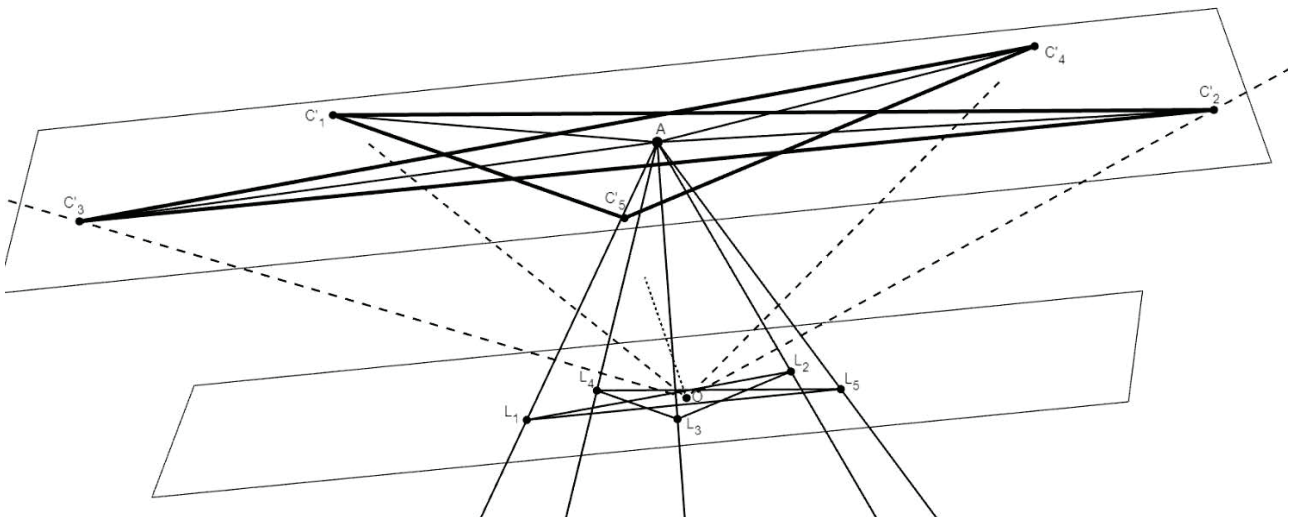


Рис. 11. Полярное изображение многогранного угла в вершине A большого икосаэдра.

Сферическим изображением многогранного угла V на сферу S будем называть проекцию $K_1 K_2 \dots K_n$ полярного многоугольника $C'_1 C'_2 \dots C'_n$ на сферу S при центральном проектировании относительно точки O .

Площадью сферического изображения назовем сумму площадей сферических треугольников $AK'_i K'_{i+1}$.

Заметим, что никакие два смежных сферических треугольника не имеют общих внутренних точек и сумма их углов при вершине A равна $\text{rot}(V; L; O) \cdot 2\pi$.

3. Теорема (аналог теоремы Гаусса). Площадь сферического изображения многогранного угла без особенностей (V, L, O) на сфере S равна числу $2\pi \cdot \text{rot}(V, L, O) - \sum \alpha_i$.

Число $2\pi \cdot \text{rot}(V) - \sum \alpha_i$ называем *кривизной реализации многогранного угла* (V, L, O) .

4. Доказательство теоремы. В случае отсутствия особенностей у данного многогранного угла V лучи e_{j-1} и p_{j-1} лежат в одном полупространстве относительно плоскости лучей AO и e_j , а лучи e_{j+1} и p_j лежат в другом полупространстве относительно этой же плоскости.

Пусть плоскости граней Q_j, Q_{j+1} пересекают ребра p_j и p_{j+1} в точках F_j и F_{j+1} соответственно.

Рассмотрим два существенно различных случая взаимного расположения тройки граней относительно точки O .

1. Тройку граней T'_j многогранного угла без особенностей (V, L, O) будем называть *тройкой первого типа*, если точка C_j принадлежит грани G_j (рис. 12, 13).

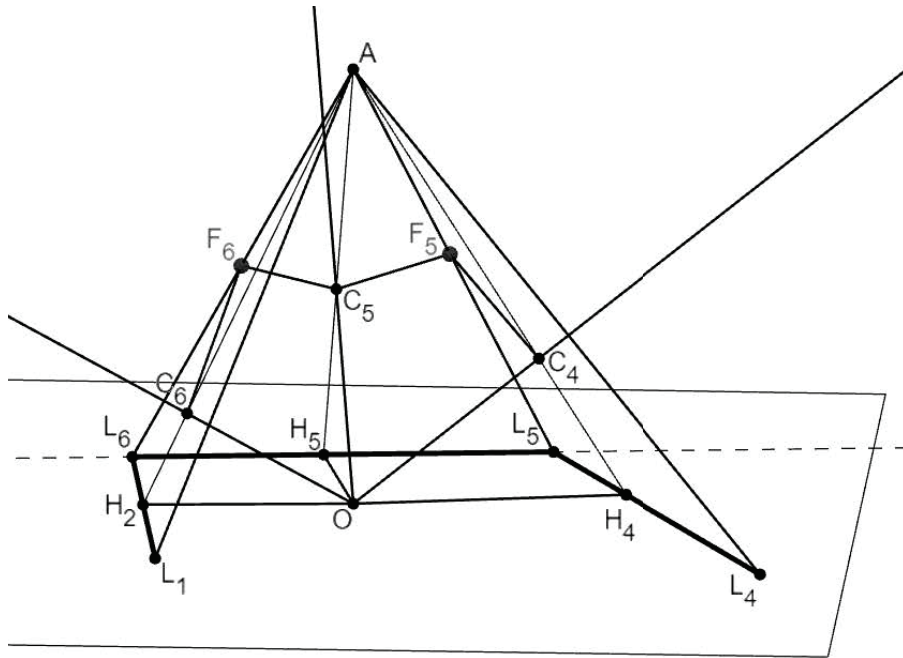


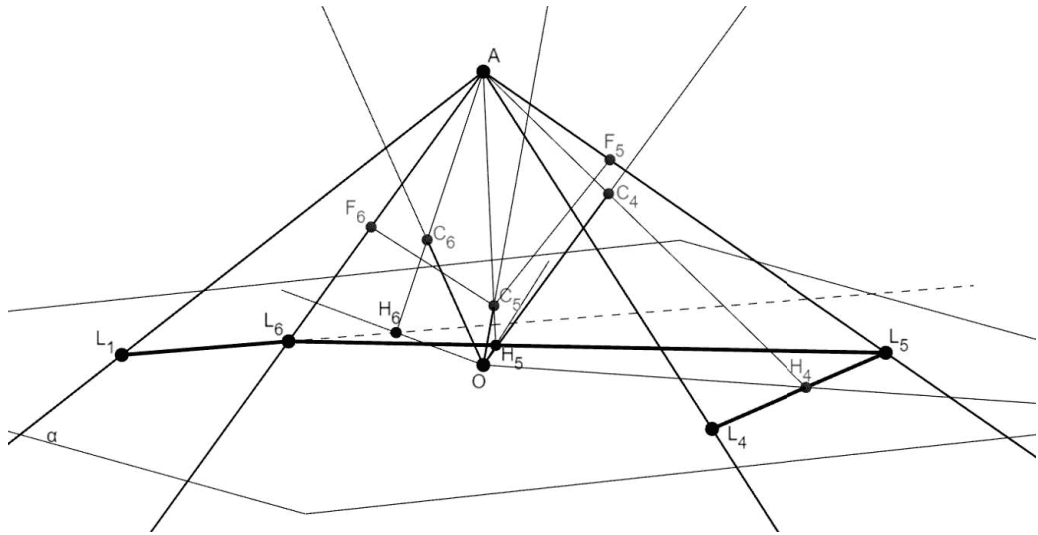
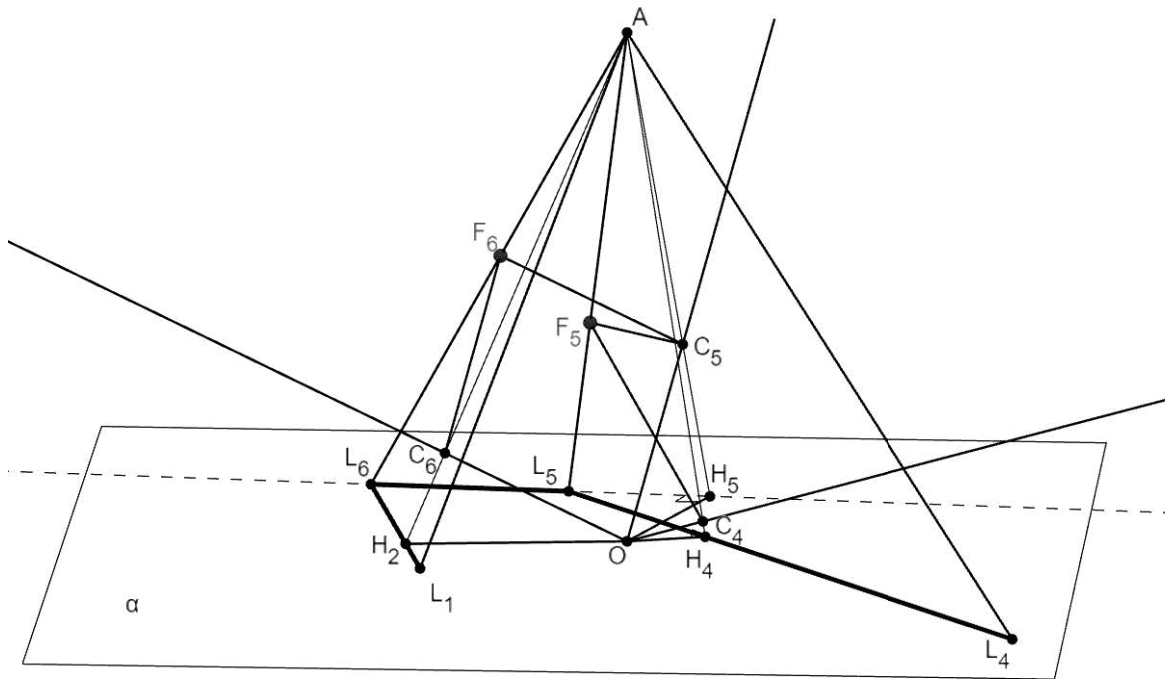
Рис. 12. Проекции точки O на плоскости всех граней тройки T'_5 принадлежат соответствующим граням.

2. Тройку граней T'_j многогранного угла без особенностей (V, L, O) будем называть *тройкой второго типа*, если точка C_j не принадлежит грани G_j (рис. 14).

Лемма. Величина двугранного угла, образованного гранями Q_j и Q_{j+1} , равна $\pi - \alpha_j$, $\angle Q_j Q_{j+1} = \pi - \alpha_j$, где α_j — плоский угол грани G_j угла (V, L, O) .

Для тройки граней первого типа утверждение очевидно, поскольку линейным углом двугранного угла, образованного гранями Q_j и Q_{j+1} , является угол $F_j C_j F_{j+1}$ четырехугольника $AF_j C_j F_{j+1}$. В четырехугольнике углы с вершинами F_j и F_{j+1} — прямые, следовательно, сумма оставшихся двух углов равна π . Доказательство проиллюстрировано на рисунке 15(а), на котором изображена плоскость середины тройки граней.

Для тройки граней T'_5 второго типа справедливость утверждения леммы продемонстрирована на рисунке 15(б). Через β_5 обозначен двугранный угол, образованный гранями Q_5 и Q_6 , α_5 — плоский угол $L_5 A L_6$ многогранного угла V , C_5 — проекция точки O на плоскость грани G_5 , F_5 и F_6 — точки пересечения ребер AL_5 и AL_6 с гранями Q_5 и Q_6 угла W соответственно.

Рис. 13. Проекция точки O на плоскость одного из края тройки T'_5 не принадлежит этой грани.Рис. 14. Тройка граней T'_5 многогранного угла без особенностей (V, L, O) второго типа.

На рисунке видны два подобных прямоугольных треугольника, острый угол α_5 одного из которых равен углу, смежному с углом β_5 . Получаем требуемое равенство $\angle\beta_5 = \angle Q_5 Q_6 = \pi - \alpha_5$. Лемма доказана.

Фигура, полученная объединением двух сферических треугольников $AK_{j+1}K_j$ и AK_jK_{j-1} , является частью сферического изображения рассматриваемого многогранного угла V . Объединение сферических углов $\angle AK_jK_{j+1}$ и $\angle K_{j-1}K_jA$ есть сферический угол $K_{j-1}K_jK_{j+1}$, величина которого равна величине двугранного угла $\angle Q_jQ_{j+1}$. Таким образом,

$$\angle K_{j-1}K_jA + \angle AK_jK_{j+1} = \angle K_{j-1}K_jK_{j+1} = \angle Q_jQ_{j+1} = \pi - \alpha_j.$$

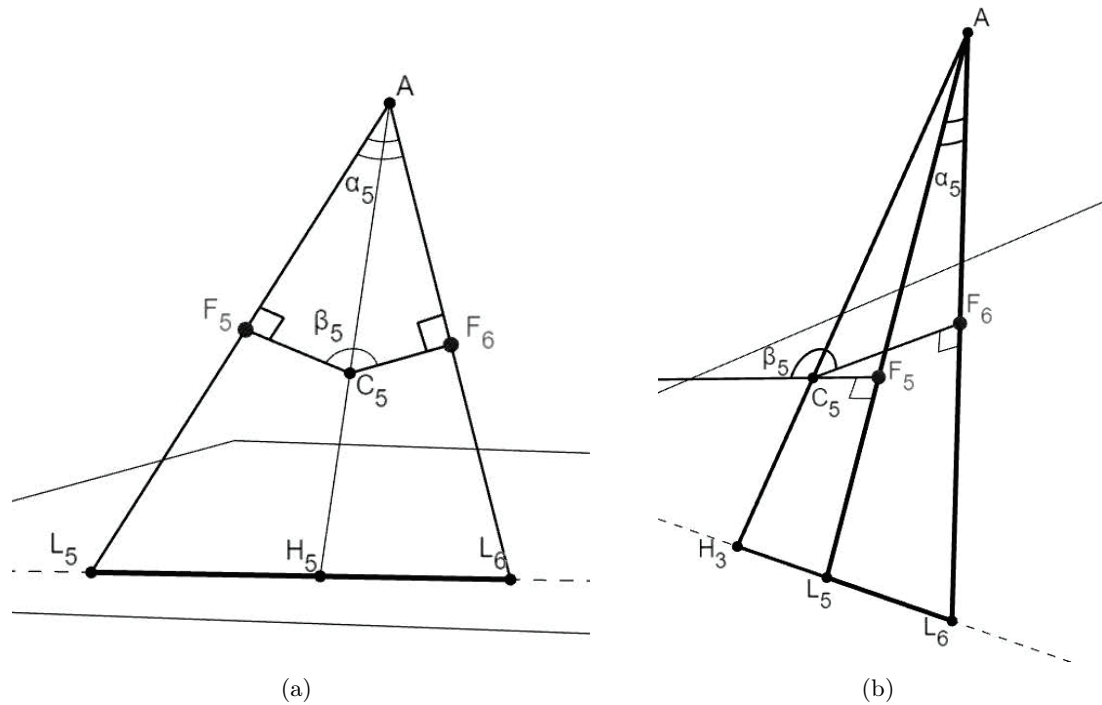


Рис. 15. Плоскость грани G_5 — середины тройки (а) первого (б) второго типа, где C_5 — проекция на эту плоскость точки O , F_5 и F_6 — точки пересечения ребер AL_5 и AL_6 с гранями Q_5 и Q_6 угла W соответственно.

Площадь $S(V)$ сферического изображения многогранного угла V равна сумме площадей сферических треугольников AK_jK_{j+1} .

$$\begin{aligned} S(V) &= \sum_{j=1}^n S(AK_jK_{j+1}) = \sum_{j=1}^n (\angle K_jAK_{j+1} + \angle AK_jK_{j+1} + \angle K_jK_{j+1}A - \pi) = \\ &= \sum_{j=1}^n \angle K_jAK_{j+1} - \sum_{j=1}^n (\pi - \angle K_{j-1}K_jK_{j+1}) = 2\pi \cdot \text{rot}(V) - \sum_{j=1}^n (\pi - (\pi - \alpha_j)) = 2\pi \cdot \text{rot}(V) - \sum_{j=1}^n \alpha_j. \end{aligned}$$

Теорема доказана.

СПИСОК ЛИТЕРАТУРЫ

1. Александров А. Д. Избранные труды. Т. 2. Выпуклые многогранники. — Новосибирск: Наука, 2007.
2. Александров А. Д., Вернер А. Л., Рыжик В. И. Геометрия 11. Учебник для углублённого изучения. — М.: Просвещение, 2000.
3. Вернер А. Л., Антипов А. А. Строение невыпуклых однородных многогранников с выпуклыми гранями. — СПб.: Изд-во РГПУ им. А. И. Герцена, 2021.

Антипова Любовь Александровна

Российский государственный педагогический университет им. А. И. Герцена, Санкт-Петербург
E-mail: pridoroga31@yandex.ru